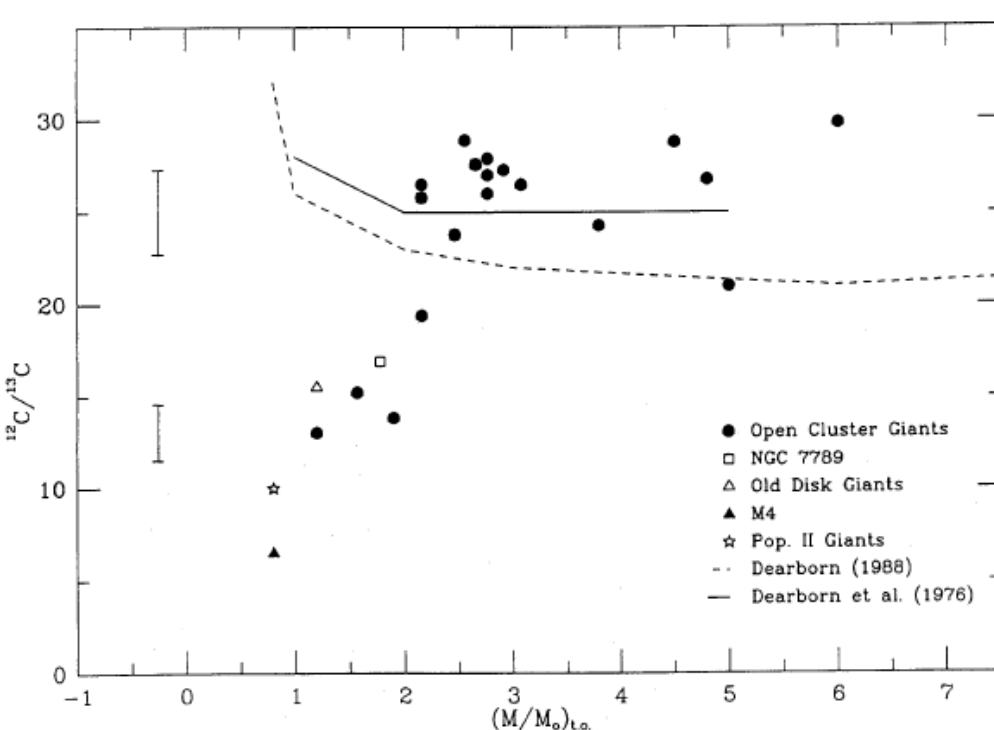




Açık Küme Üyesi Kırmızı Dev Yıldızların Kimyasal Analizi

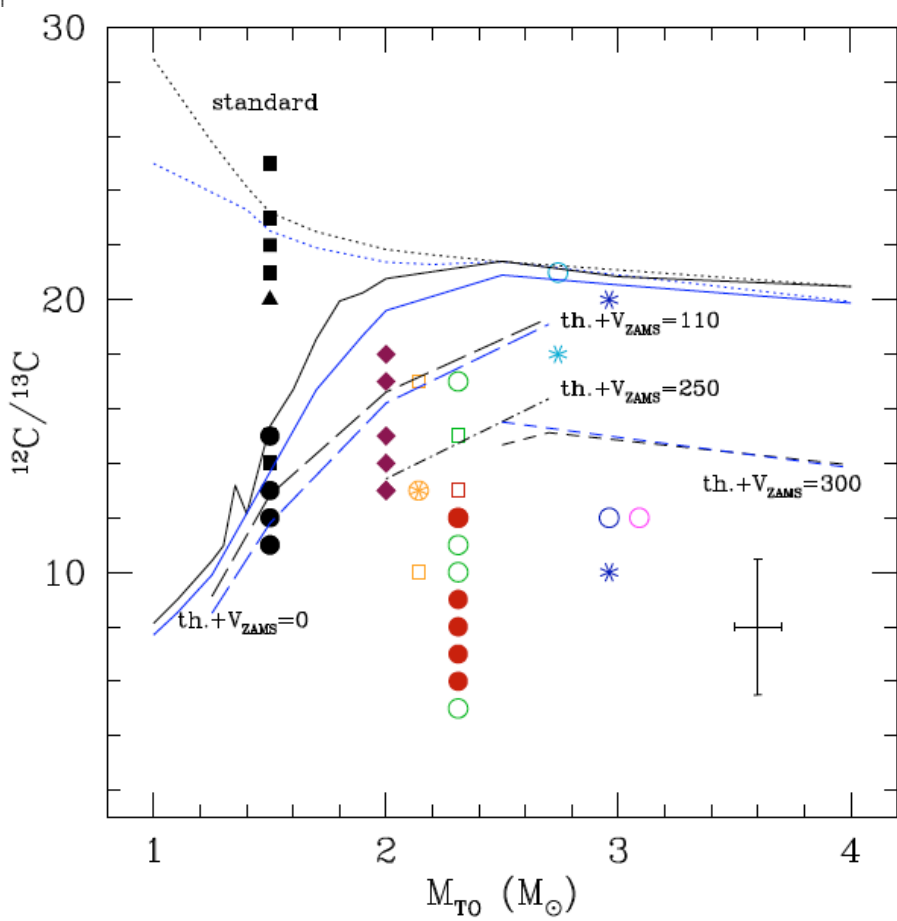
Gamze BÖCEK TOPCU

Melike Afşar
Chris Sneden (UT)



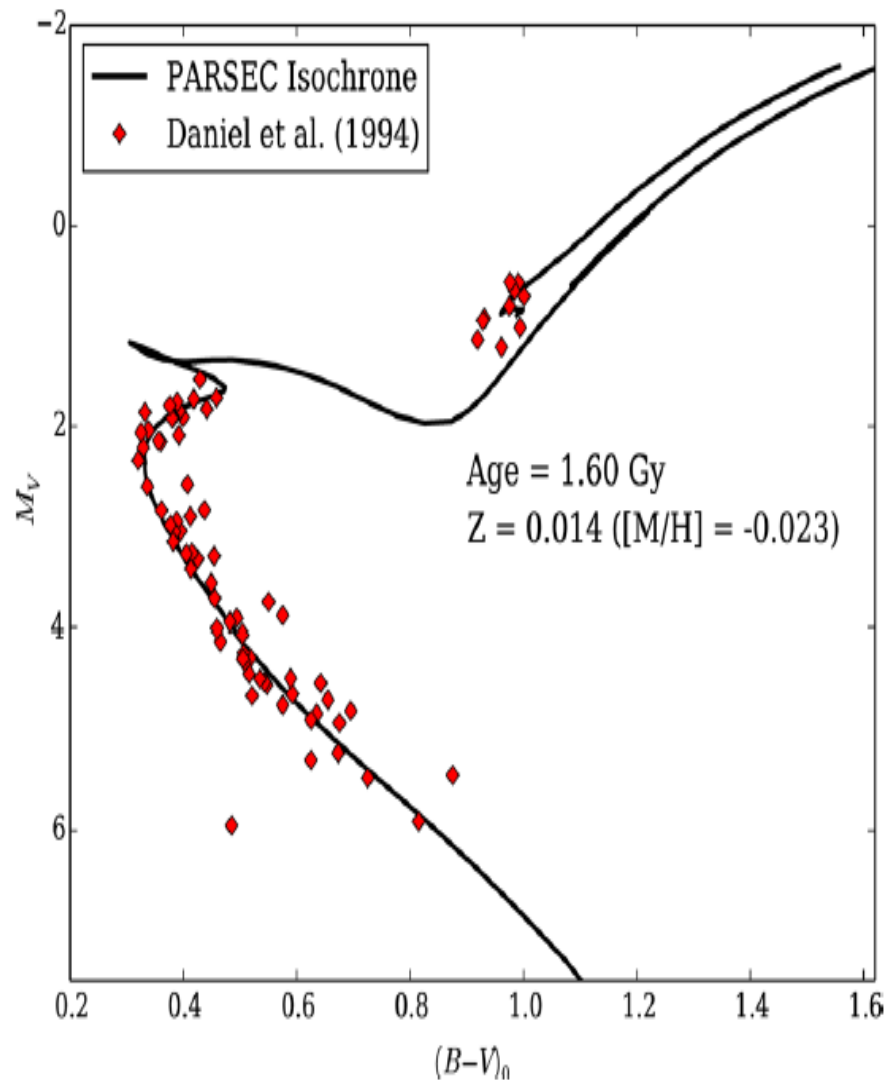
Gilroy, 1989

Motivasyonumuz



C. Charbonnel & N. Lagarde, 2010

NGC 752



Sağ Açıklık (2000)	01 57 41
Dik Açıklık (2000)	+37 47 06
Galaktik Enlem	137.125
Galaktik Boylam	-23.254
Uzaklık	447 pc
E(B-V)	0.035
(m-M)₀	8.25
Yaş	1.7–1.9 Gyr
Dönme noktası kütlesi	$1.5 M_{\odot}$

- $[\text{Fe}/\text{H}] = +0.08 \pm 0.04$ (Carrera et al. 2011)
- $[\text{Fe}/\text{H}] = -0.02 \pm 0.05$ (Reddy et al. 2012)
- $[\text{Fe}/\text{H}] = -0.02 \pm 0.05$ (Bu çalışma)

Amacımız...

- ★ Model atmosfer parametreleri
(T_{eff} - log g - [M/H] - ξ)
- ★ Hafif elementler (Li, C, N, O)
- ★ Alfa elementleri (Mg, Si, Ca)
- ★ Fe-civarı (Fe-peak) elementleri
(Sc, V, Ti, Cr, Mn, Co, Ni, Cu, Zn)
- ★ n-yakalama elementleri (Y, La, Nd, Eu)
- ★ $^{12}\text{C}/^{13}\text{C}$
- ★ IGRINS (Immersion Grating INfrared Spectrometer)
 - $R = \lambda / \Delta\lambda = 40,000$
 - Tüm H ve K bandını (1.5 - 2.4 μm) tek pozda kapsıyor.
 - Kıızılıôte moleküler bandlar (C_2 , CN, NH, OH, CO ve HF)

Gözlemler

Table 3. Observing logs and radial velocities of the observed stars.

Star	Obs. date	Exp. (s)	S/N	RV ^a (km s ⁻¹)	RV ^b (km s ⁻¹)	RV ^c (km s ⁻¹)	RV ^d (km s ⁻¹)
Cluster members							
MMU 1	2012 November	3600	160	4.73 ± 0.20	5.19 ± 0.15	5.49 ± 0.44	
MMU 3	2012 November	3600	150	4.11 ± 0.20	4.56 ± 0.10		
MMU 11	2012 November	3600	175	4.45 ± 0.19	4.75 ± 0.12		
MMU 24	2012 October	3600	185	4.86 ± 0.19	5.36 ± 0.10		
MMU 27	2012 November	3600	190	4.39 ± 0.19	4.58 ± 0.11		
MMU 77	2012 November	3600	155	4.58 ± 0.20	5.02 ± 0.09		6.3 ± 0.2
MMU 137	2012 October	1350	170	5.59 ± 0.20	5.25 ± 0.09		5.9 ± 0.2
MMU 295	2014 February	2700	140	6.32 ± 0.23	5.20 ± 0.09		6.3 ± 0.2
MMU 311	2012 October	2700	180	5.19 ± 0.19	5.79 ± 0.09	6.00 ± 0.30	6.7 ± 0.2
MMU 1367	2012 October	2700	210	3.98 ± 0.19	4.55 ± 0.11		
Non-members							
MMU 39	2012 October	3600	180	-21.05 ± 0.20	-21.67 ± 0.14		
MMU 215	2012 October	1800	290	9.51 ± 0.24	9.29 ± 0.13		

^aThis study.

^bMermilliod et al. (2008).

^cCarrera & Pancino (2011).

^dReddy et al. (2012).

$$\langle RV \rangle = 4.82 \pm 0.20 \text{ km s}^{-1}$$

$$\langle RV \rangle = 5.04 \pm 0.08 \text{ km s}^{-1}$$

❖ Çizgi Listeleri

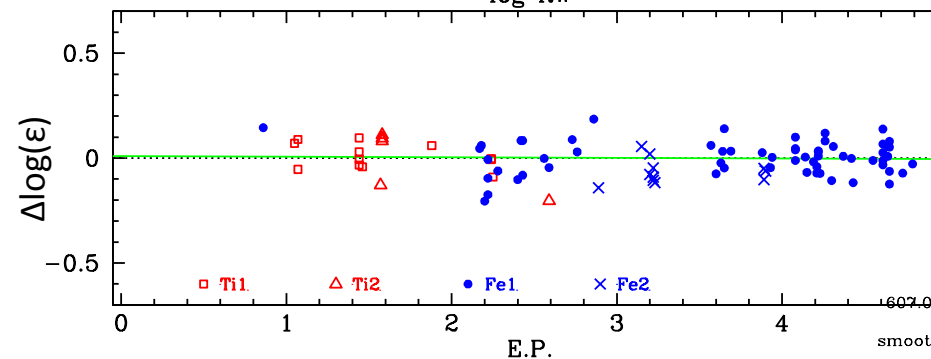
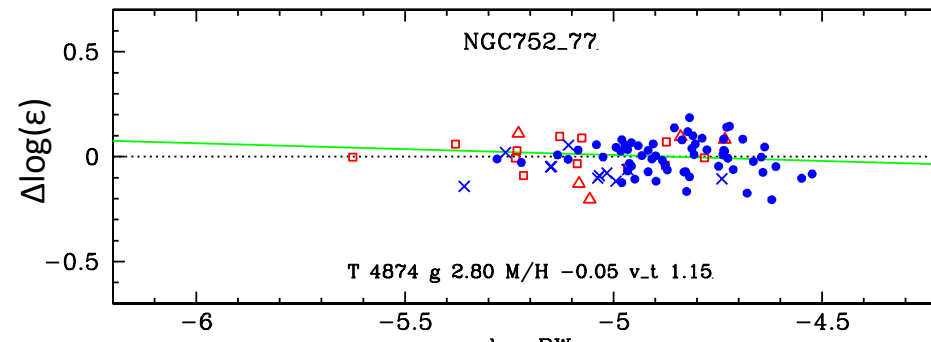
Model Atmosfer

- Kurucz atmosfer modelleri
(Castelli & Kurucz 2003)
- $R \approx 150.000$ Güneş tayıfı,
Kurucz et al. (1984).
- EW ölçümleri, IDL - 'ew.pro'
(Ian Roederer tarafından
yazılan ve Erik Brugamyer
tarafından geliştirilen)

Table 9. Solar abundances.

Species	$\log \epsilon_{\odot}$ (this study)	$\log \epsilon_{\odot}$ (Asplund et al. 2009)
Li I	$1.05 \pm (0.05)$	1.05 ± 0.10
C	$8.43 \pm (0.05)$	8.43 ± 0.05
N	$8.13 \pm (0.05)$	7.83 ± 0.05
O	$8.69 \pm (0.05)$	8.69 ± 0.05
Na I	$6.34 \pm (0.10)$	6.24 ± 0.04
Mg I	7.63 ± 0.16	7.6 ± 0.04
Al I	6.33 ± 0.18	6.45 ± 0.03
Si I	7.57 ± 0.05	7.51 ± 0.03
Ca I	6.31 ± 0.03	6.34 ± 0.04
Sc II		3.15 ± 0.04
Ti I	4.88 ± 0.06	4.95 ± 0.05
Ti II	4.98 ± 0.05	
V I		3.93 ± 0.08
Cr I	5.61 ± 0.04	5.64 ± 0.04
Cr II	5.72 ± 0.08	
Mn I	5.41 ± 0.06	5.43 ± 0.04
Fe I	7.42 ± 0.04	7.50 ± 0.04
Fe II	7.45 ± 0.04	
Co I		4.99 ± 0.07
Ni I	6.24 ± 0.07	6.22 ± 0.04
Cu I	4.07 ± 0.10	4.19 ± 0.04
Zn I	$4.51 \pm (0.05)$	4.56 ± 0.05
Y II	2.19 ± 0.04	2.21 ± 0.05
La II	1.15 ± 0.06	1.10 ± 0.04
Nd II	$1.37 \pm (0.05)$	1.42 ± 0.04
Eu II	0.54 ± 0.08	0.52 ± 0.04

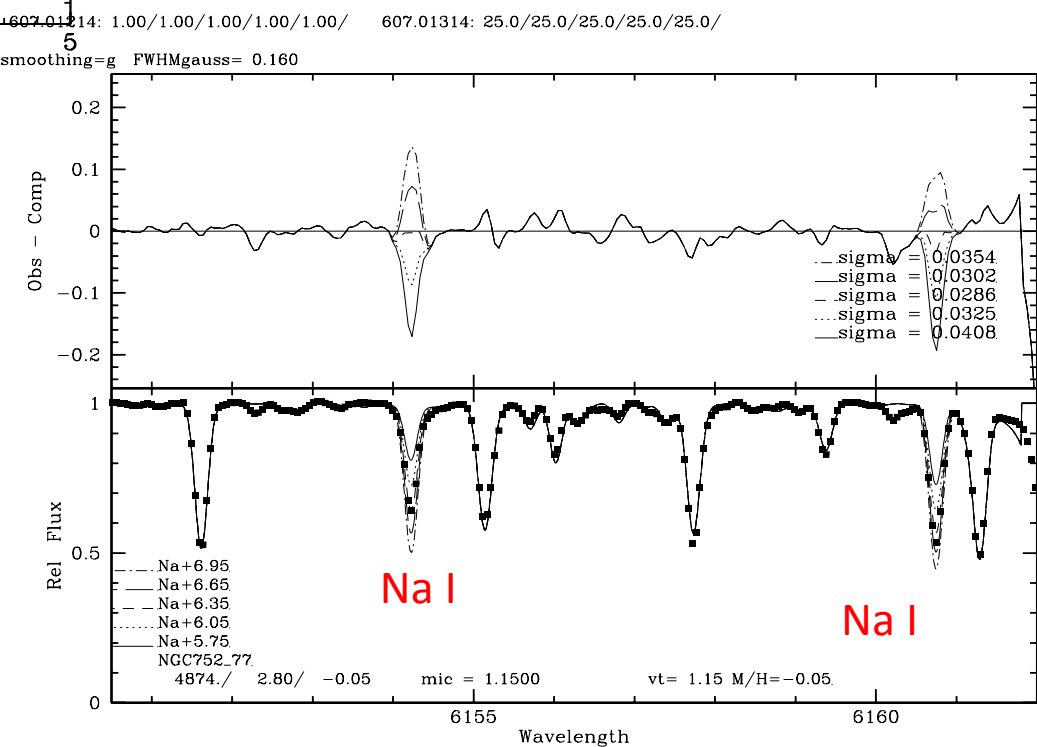
(mean,sigma,#) Ti1(4.90,0.06, 12) Ti2(4.88,0.15, 5) Fe1(7.46,0.08, 62) Fe2(7.39,0.06, 11)

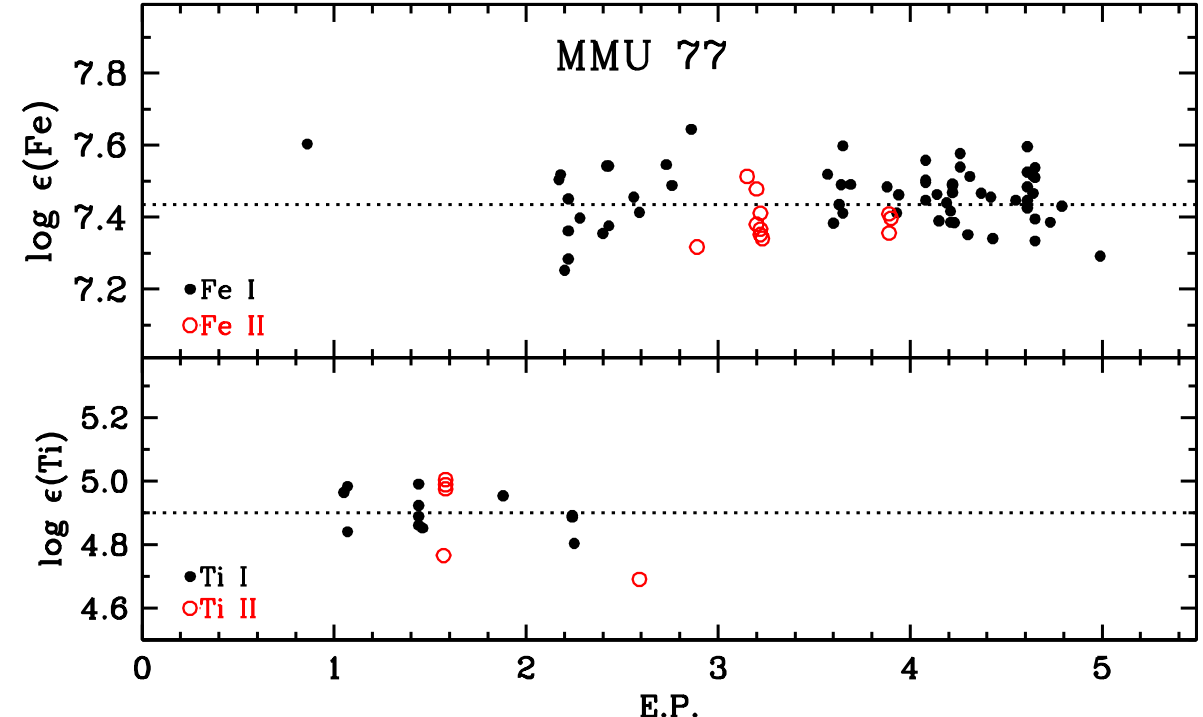


E.P.
Model Atmosfer

Sentetik Analiz

EW ve sentetik tayf analiz kodu:
MOOG (Sneden, 1973)

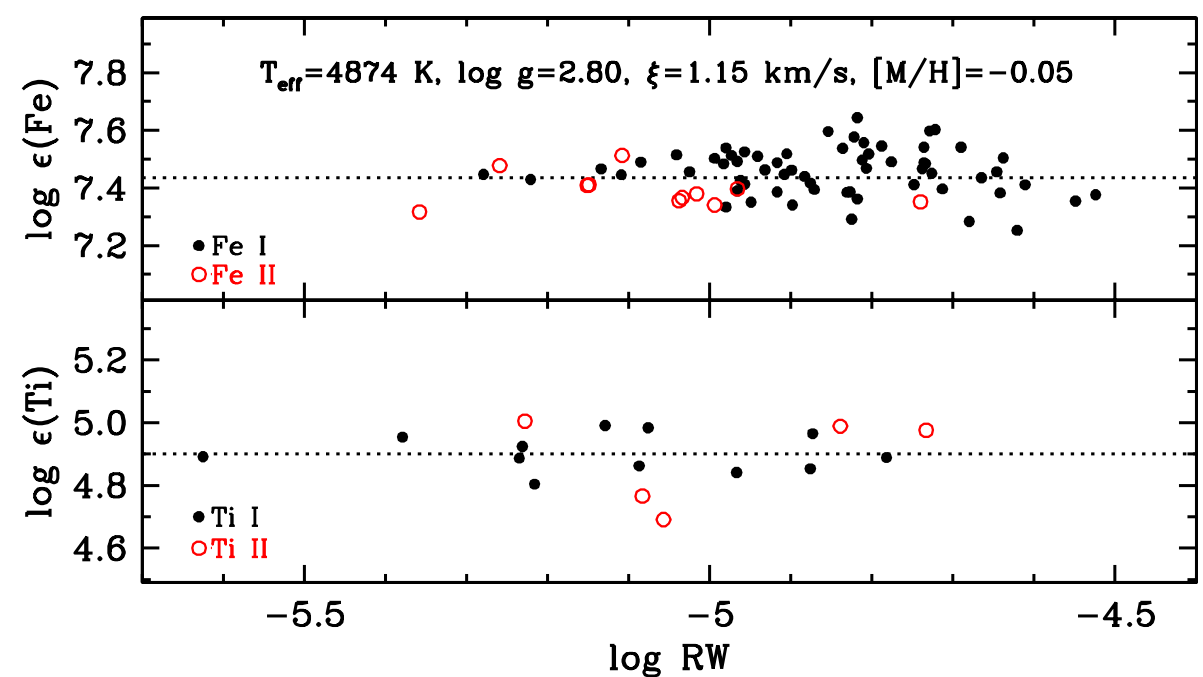




- 62 Fe I - 12 Fe II
- 12 Ti I (Lawler et al., 2013)
5 Ti II (Wood et al., 2013)

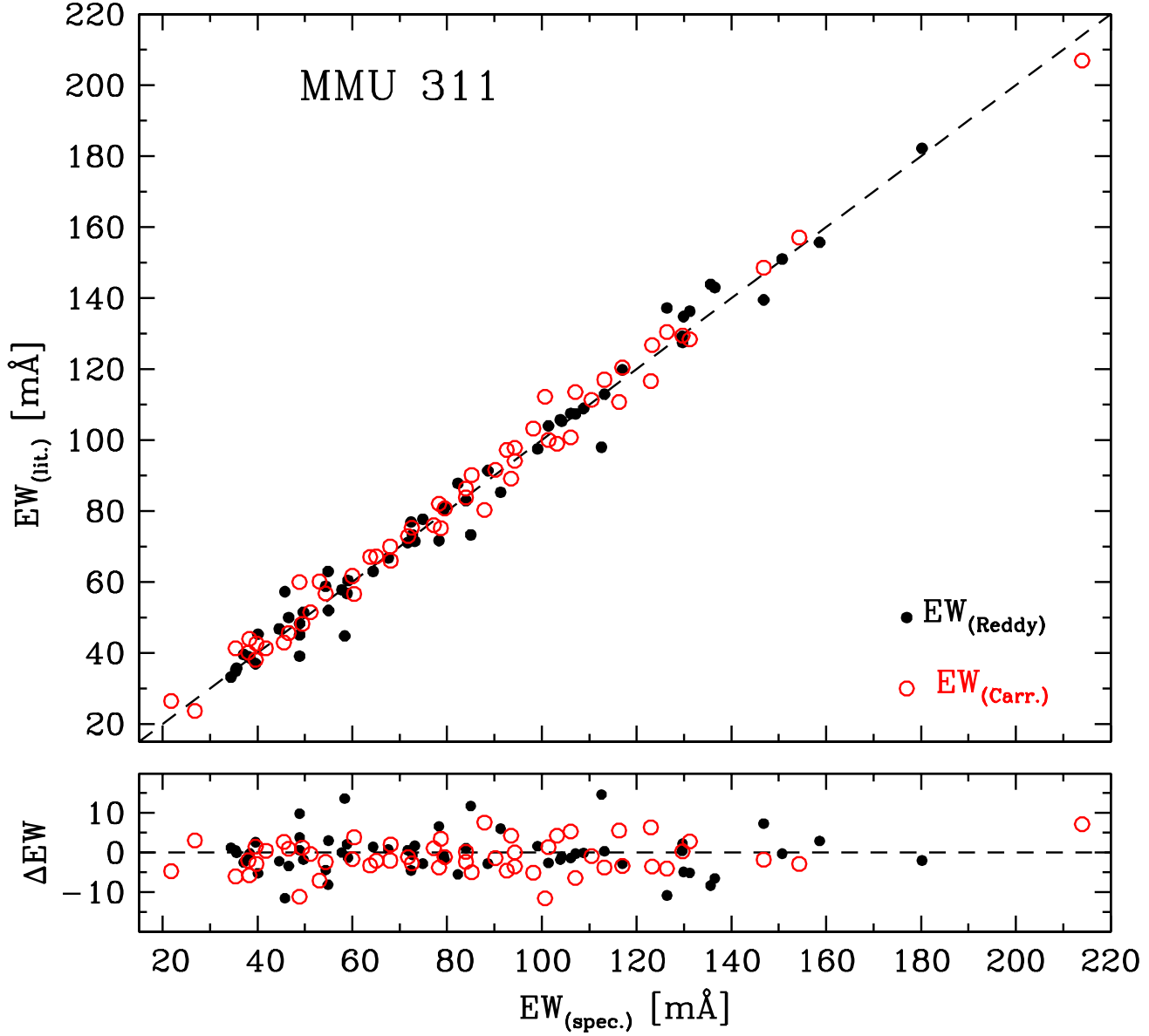
Ep, eğim olmaması:
Sıcaklık belirlemesi

Nötr ve iyonize
elementler arasındaki
denge; $\log g$ değerini
gösteriyor.



RW= $\log(EW/\lambda)$,
eğim olmaması:
Mikrotürbülans hızı
belirlemesi

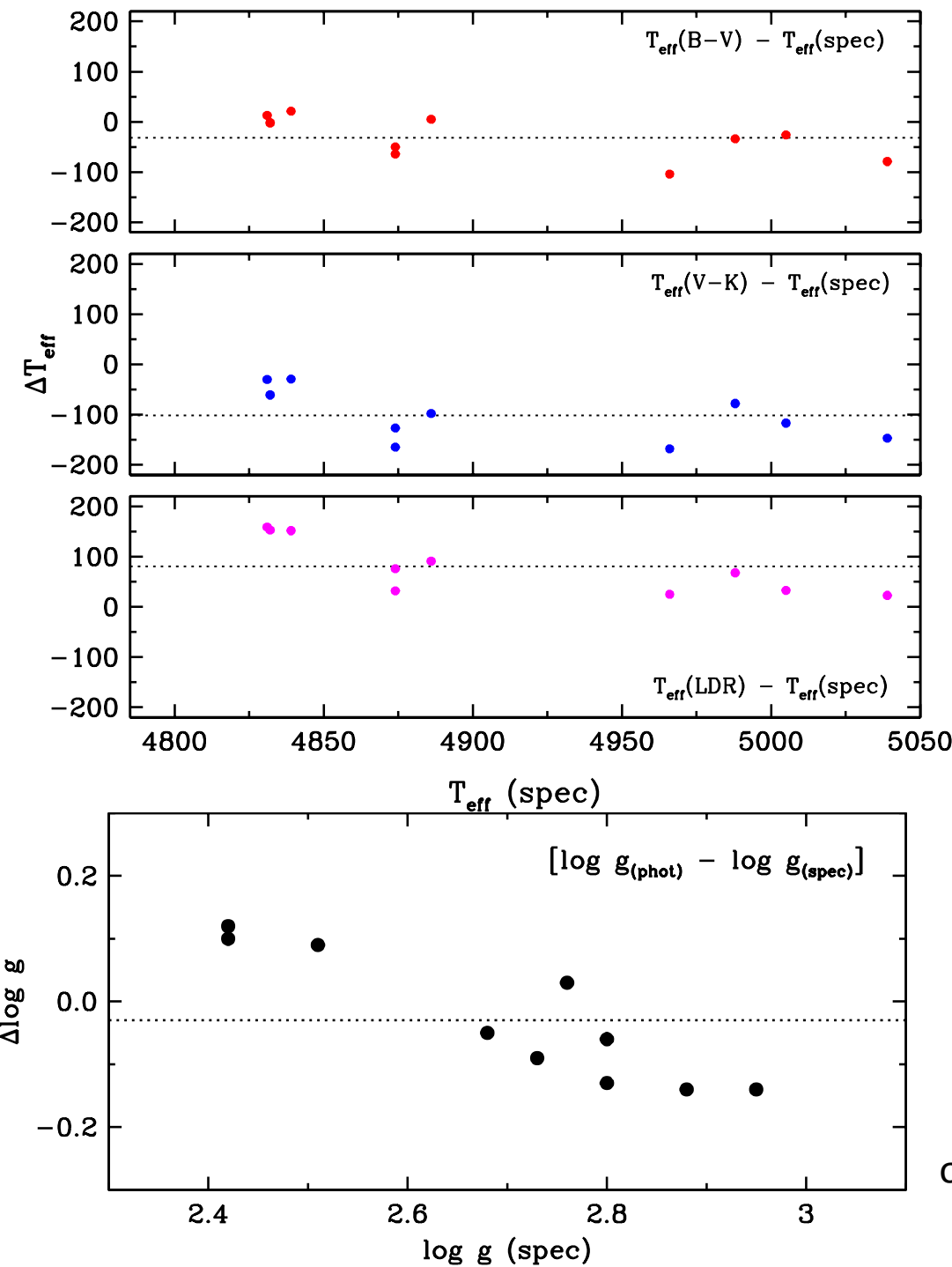
MMU 311



4850 K
 $\log g = 2.6$
 $\xi = 1.45 \text{ km/s}$
 $[Fe/H] = -0.04 \pm 0.05$
• Kendi Güneş tayfları

4874 K
 $\log g = 2.68$
 $\xi = 1.24$
 $[Fe/H] = -0.02$
• Bu çalışma

4800 K
 $\log g = 3.2$
 $\xi = 1.2 \text{ km/s}$
 $[Fe/H] = 0.16 \pm 0.07$
• Güneş bollukları ;
Grevesse et al. (1996)



Diğer çalışmalar ile
karşılaştırma:

- Ortak 4 RG
Reddy et al., 2012

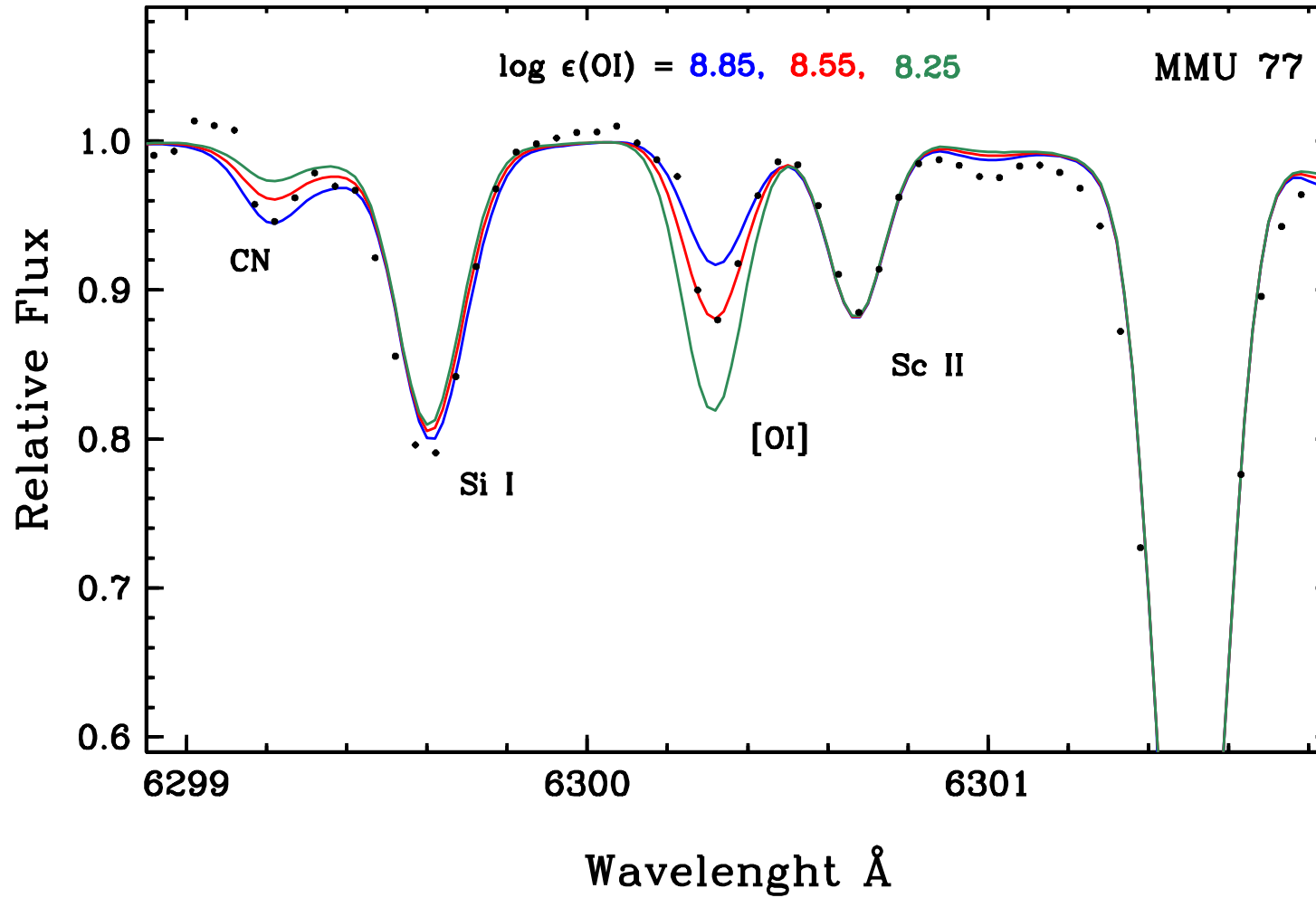
$$\begin{aligned}\langle \Delta T_{\text{eff}} \rangle &= \pm 20 \text{ K} \\ \langle \Delta \log g \rangle &= \pm 0.06 \\ \langle \Delta \xi \rangle &= \pm 0.13\end{aligned}$$

- Ortak 2 RG
Carrera et al., 2011

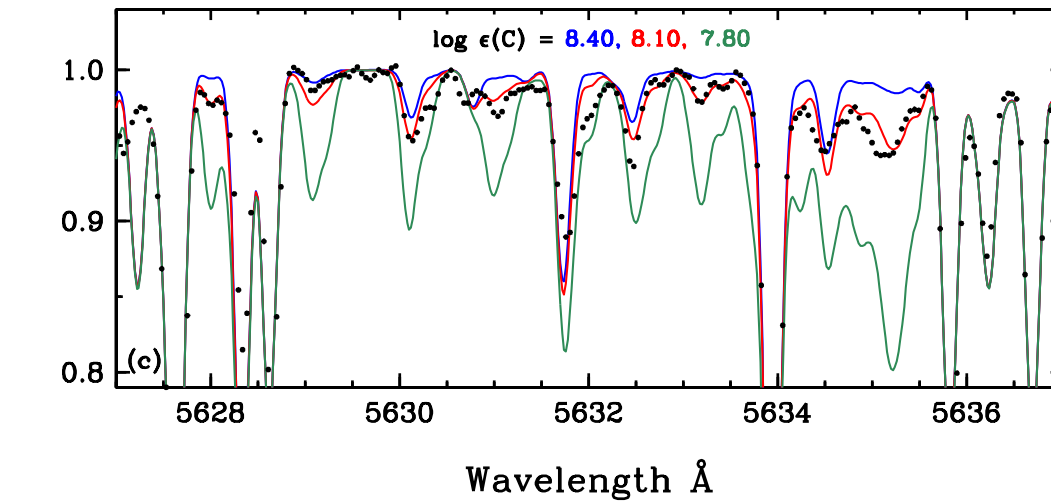
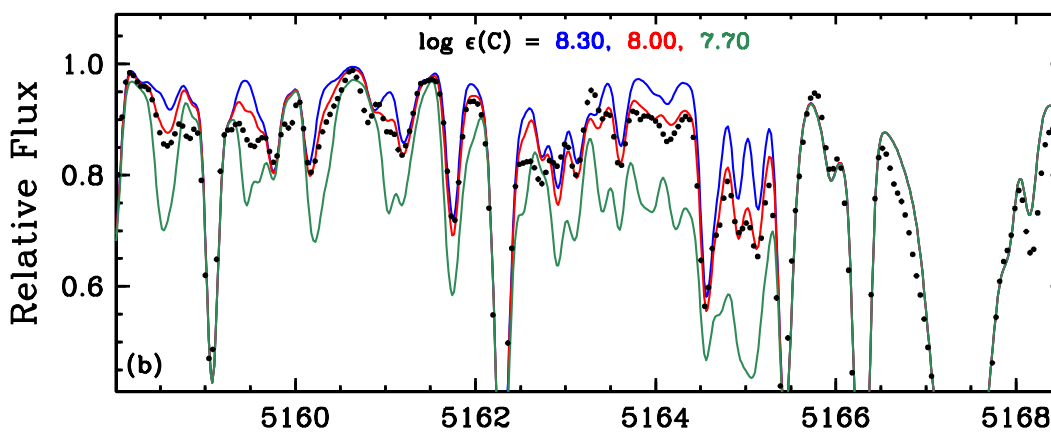
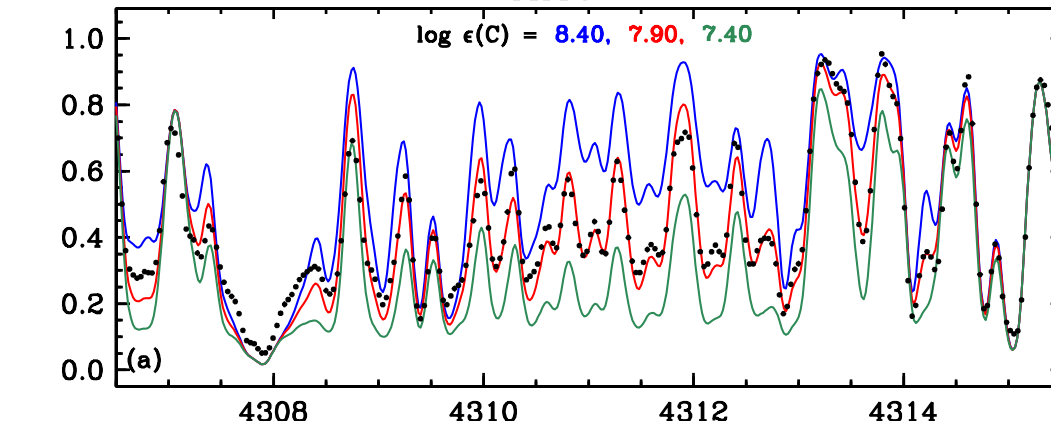
$$\begin{aligned}\langle \Delta T_{\text{eff}} \rangle &= \pm 84 \\ \langle \Delta \log g \rangle &= \pm 0.26 \\ \langle \Delta \xi \rangle &= \pm 0.19\end{aligned}$$

$$\sigma = \pm 0.1$$

Sentetik Analiz



MMU 77

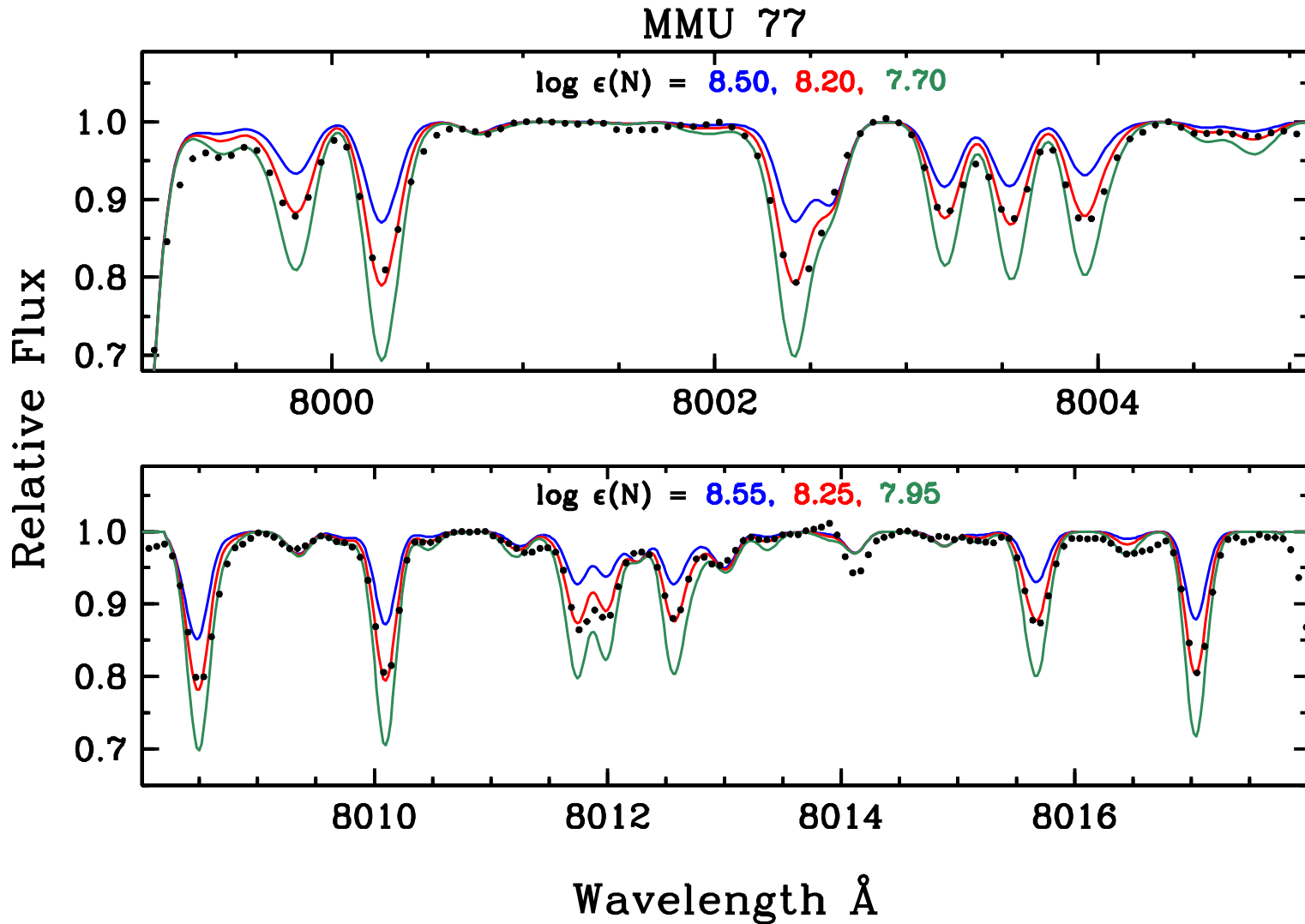


CH (G-bandı)

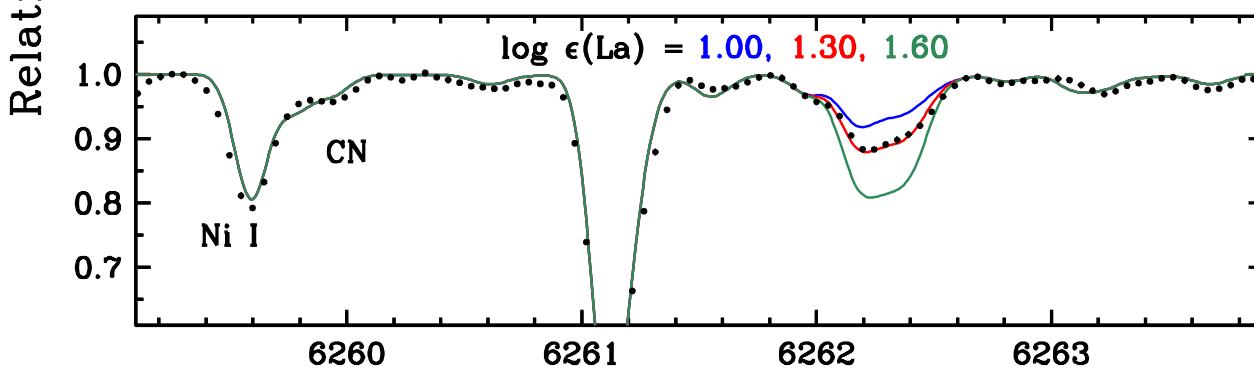
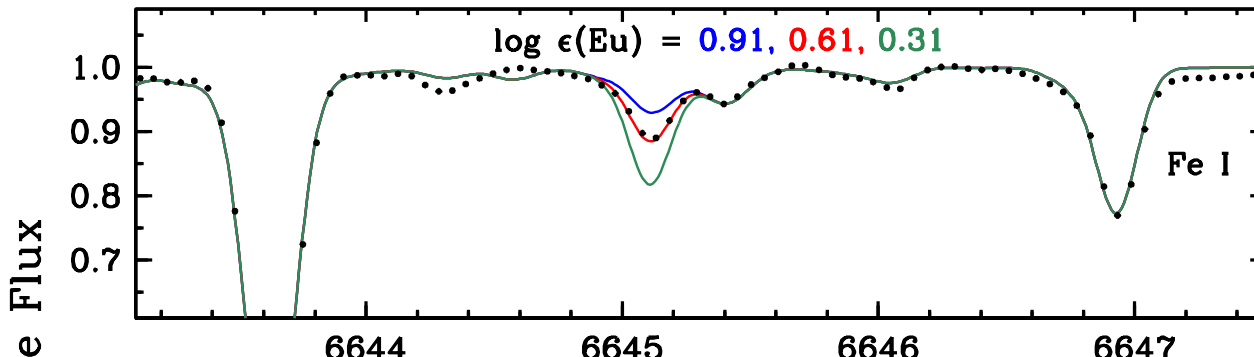
 C_2 C_2

Wavelength Å

CN

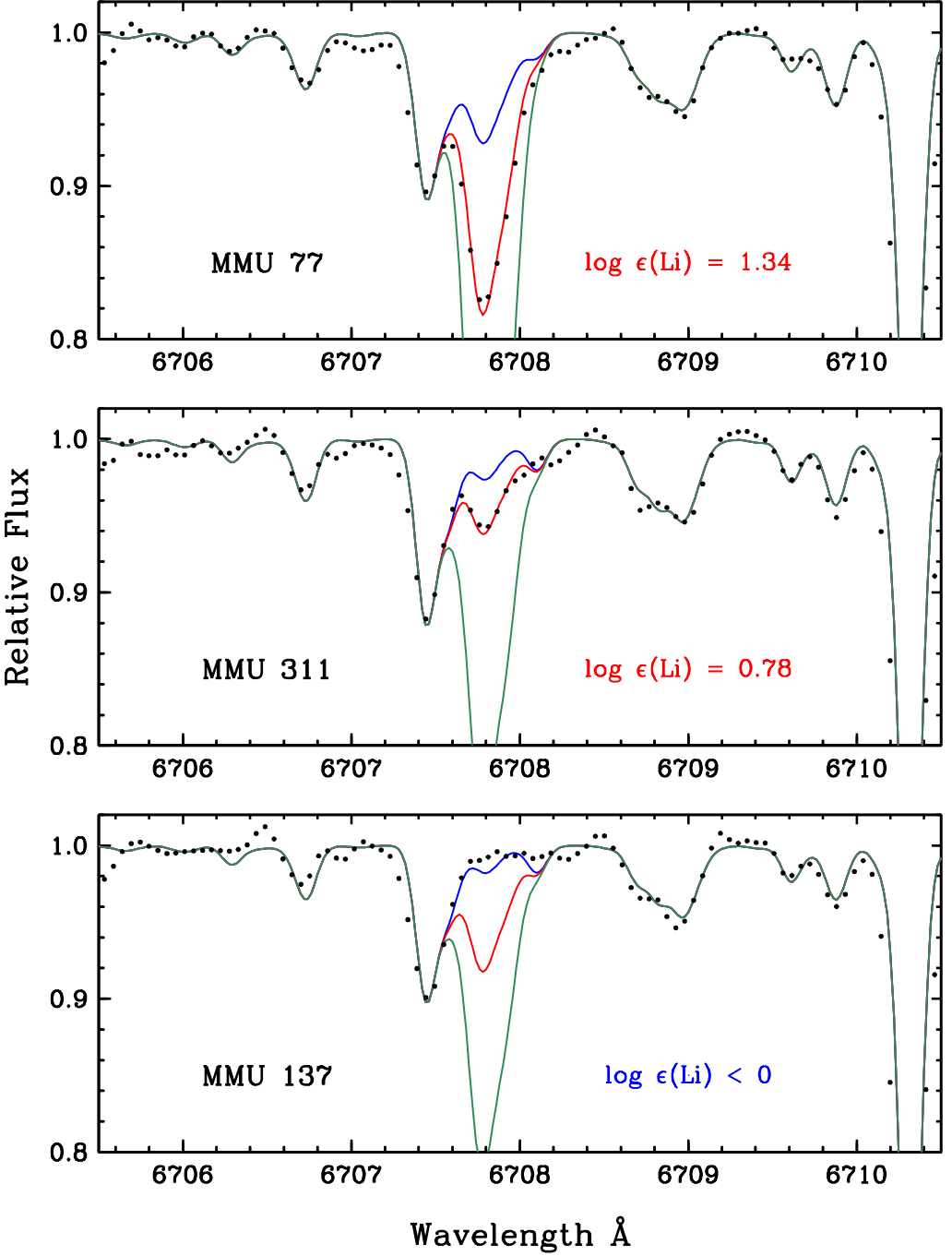


MMU 77

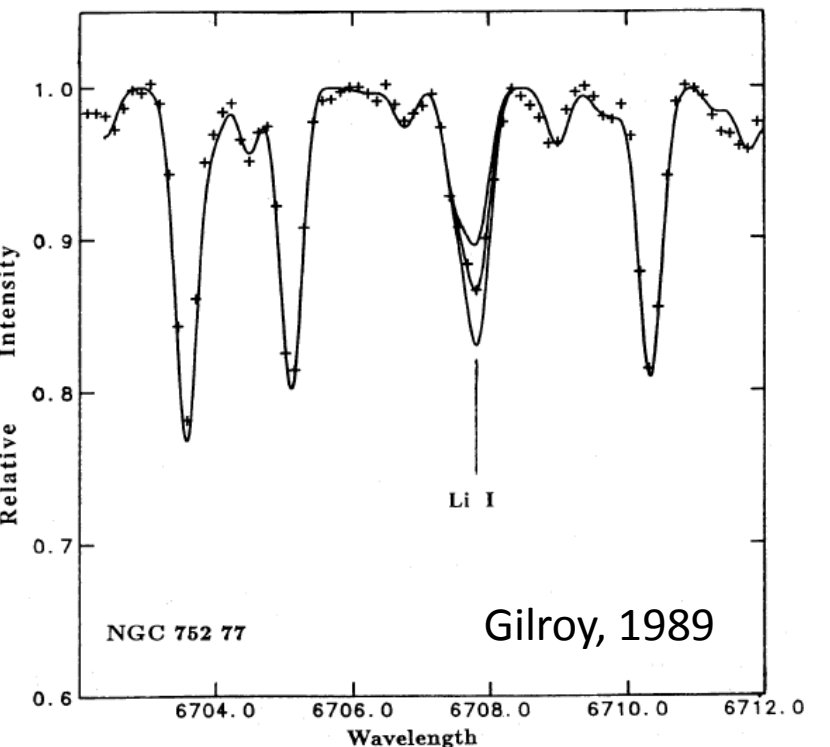


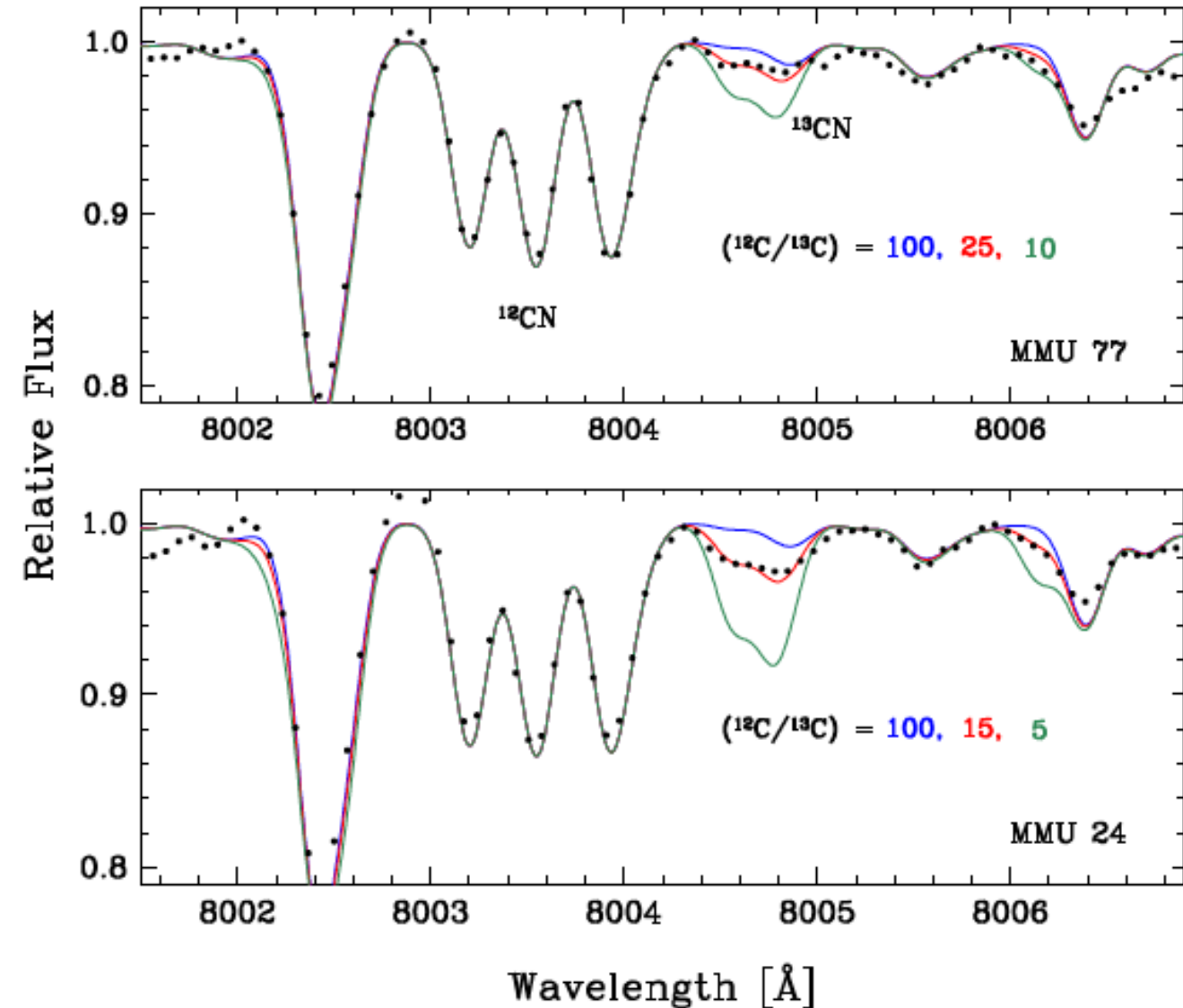
MMU 77	6645	7217	7301	Ortalama
$\log \epsilon(\text{Eu})$	0.61	0.61	0.75	0.66

MMU 77	6262	6390	5003	5797	Ortalama
$\log \epsilon(\text{La})$	1.3	1.45	1.32	1.32	1.35



	Pilachowski, 1988	Gilroy, 1989	Bu Çalışma
MMU 1	<+0.5	0.40	0.15
MMU 3			1.25
MMU 11			1.00
MMU 24	<+0.5		<0
MMU 27			0.95
MMU 77	1.10	1.40	1.34
MMU 137	<+0.3		<0
MMU 295	<+0.5	0.20	<0
MMU 311	<+0.3	0.75	0.78
MMU 1367			<0

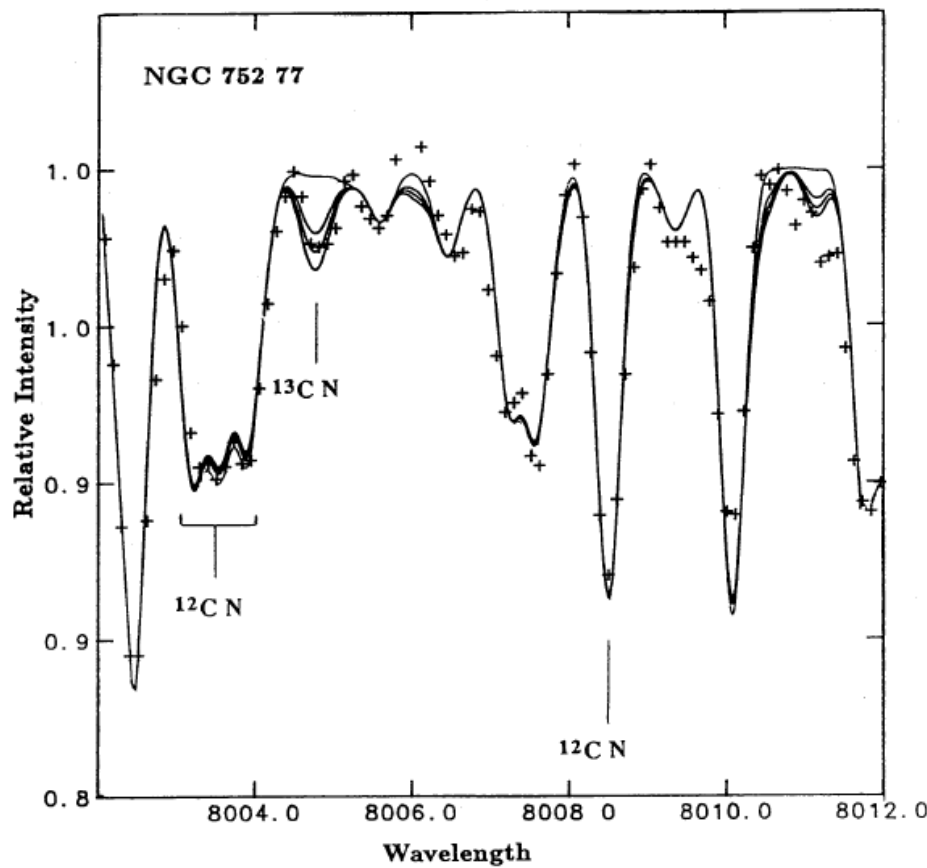
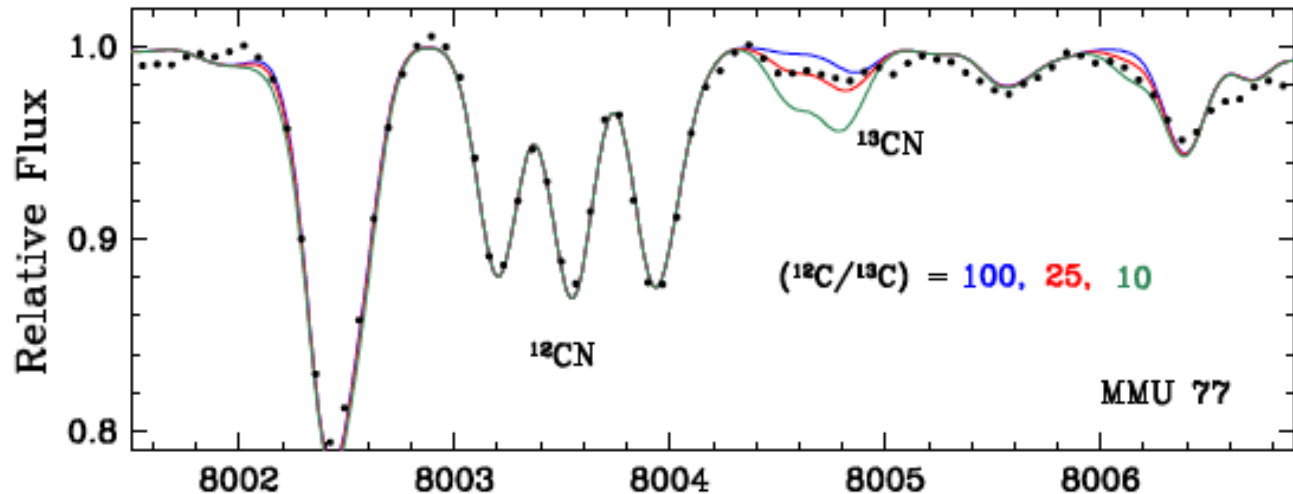


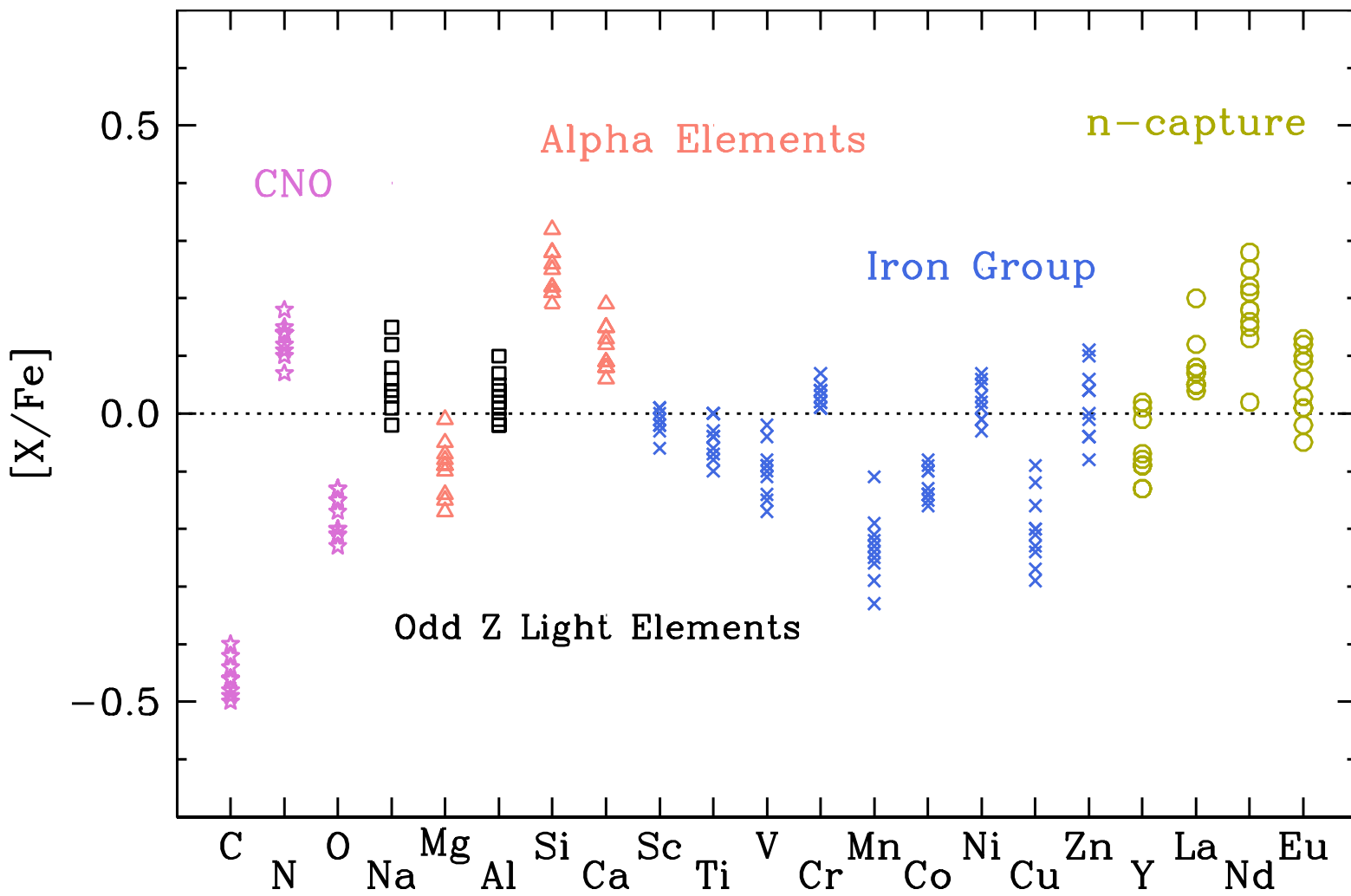


$^{12}\text{C}/^{13}\text{C}$

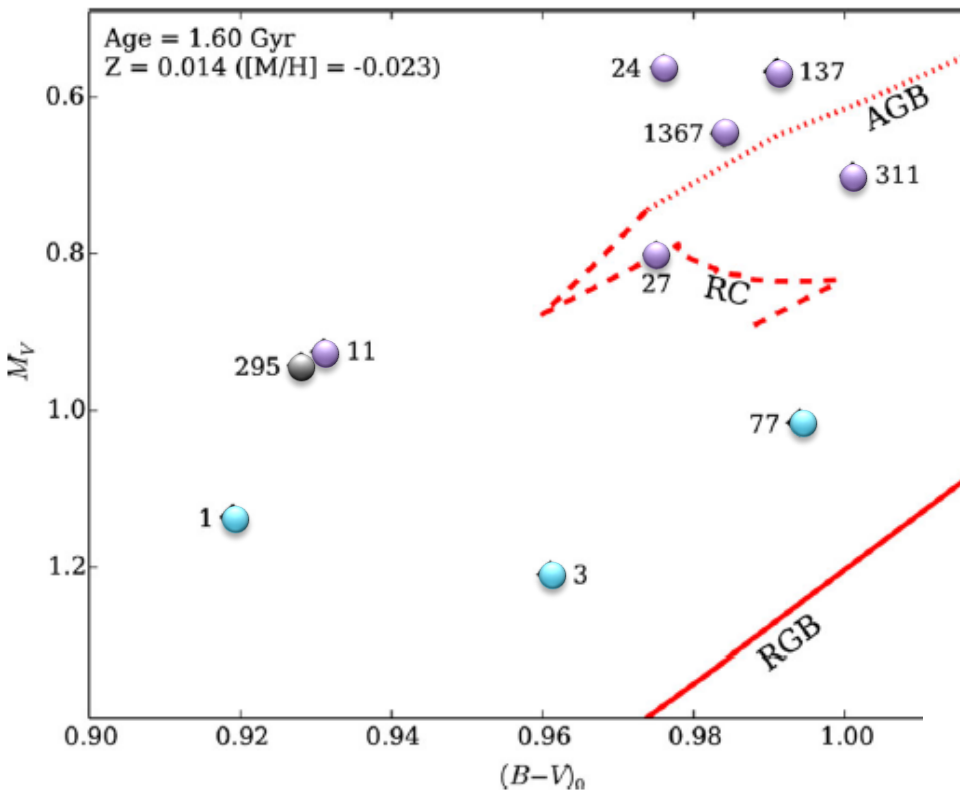
$^{12}\text{C}/^{13}\text{C}$ belirlenmesi için önerilen tüm bölgeleri analiz ettik:

8004.6	8006	8010.4	8015.2	8016.4	8036	8048.2	8050.5	8051.7	8056.5	8065
--------	------	--------	--------	--------	------	--------	--------	--------	--------	------



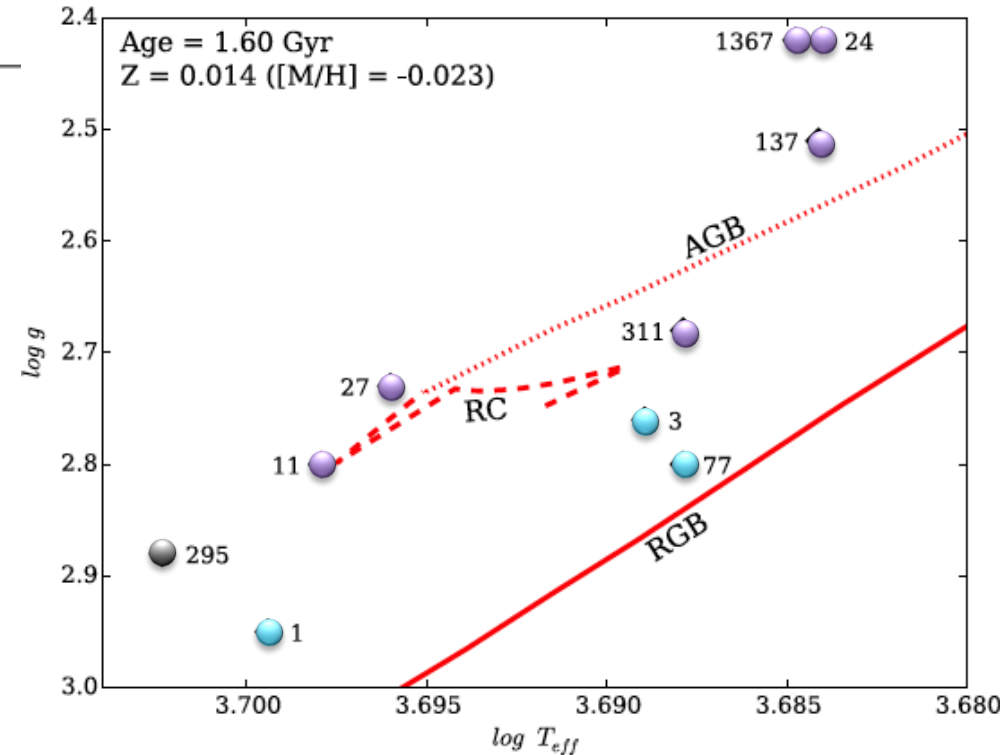


- CN - "klasik" yıldız evrimi teorileriyle uyumlu.
- V - Sc - Co için ters-güneş analizi yapıldı.
- Daha doğru/hassas log gf değerlerine ihtiyaç var.

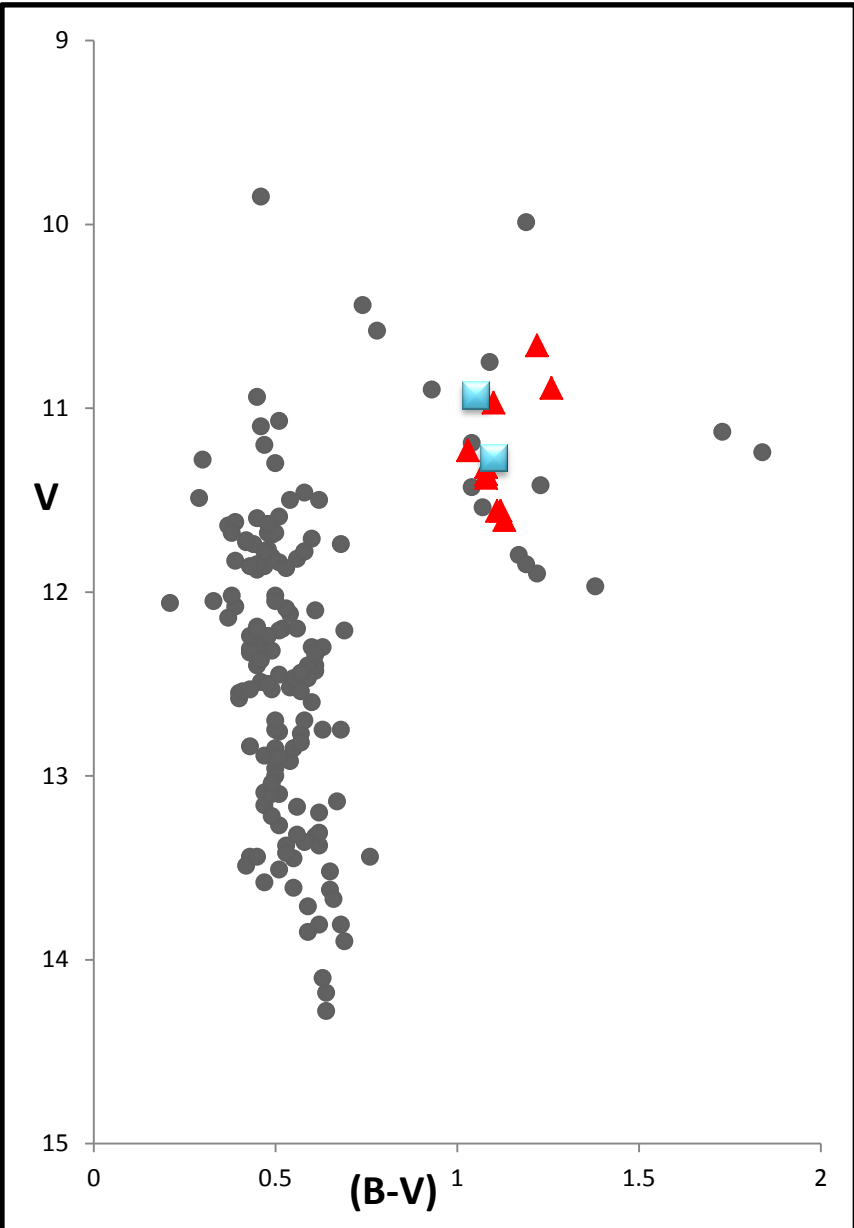


Yıldız	$\log \epsilon (\text{Li})$	$^{12}\text{C}/^{13}\text{C}$	Evrim
MMU 11	1	25	RC
MMU 24	<0	15	RC
MMU 27	0.95	17	RC
MMU 137	<0	15	RC
MMU 311	0.78	20	RC
MMU 1367	<0	17	RC

Yıldız	$\log \epsilon (\text{Li})$	$^{12}\text{C}/^{13}\text{C}$	Evrim
MMU 1	0.15	25	RGB
MMU 3	1.25	25	RGB
MMU 77	1.34	25	RGB
MMU 295	<0	20	RHB



NGC 6940



Sağ Açıklık	20 34 26
Dik Açıklık	+28 17 00
Galaktik Enlem	69.860
Galaktik Boylam	-7.147
Uzaklık	770 pc
E(B-V)	0.214
(m-M)₀	10.10
log Yaş	8.94
Dönme noktası kütlesi	$1.5 M_{\odot}$

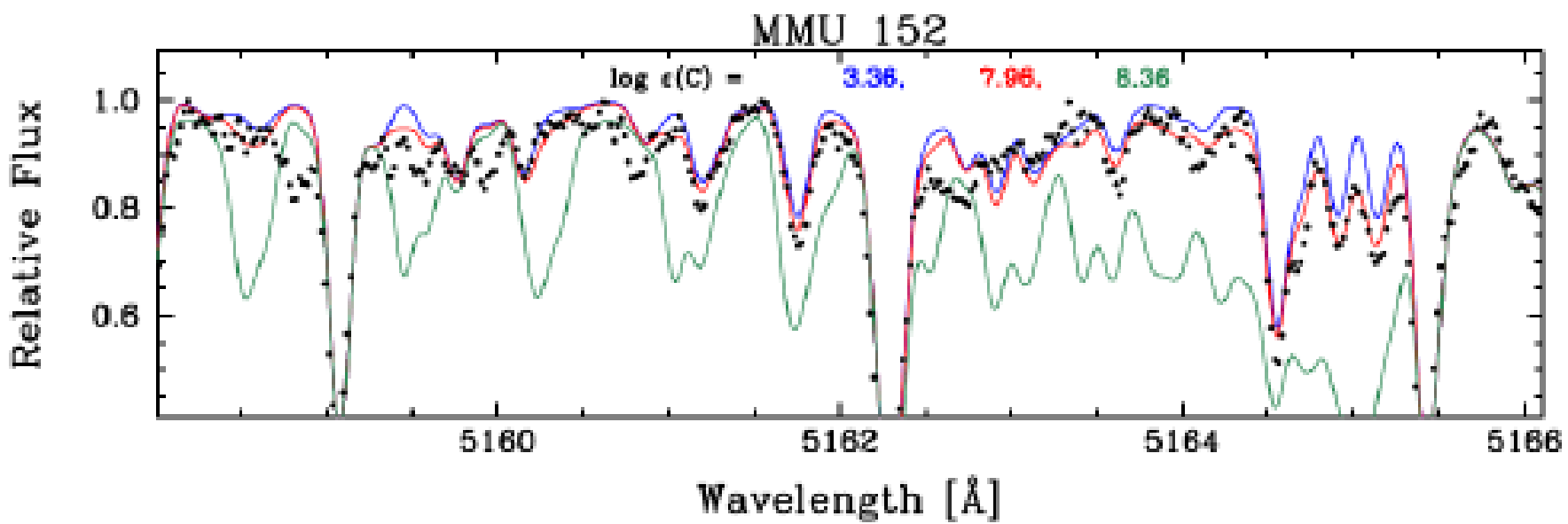
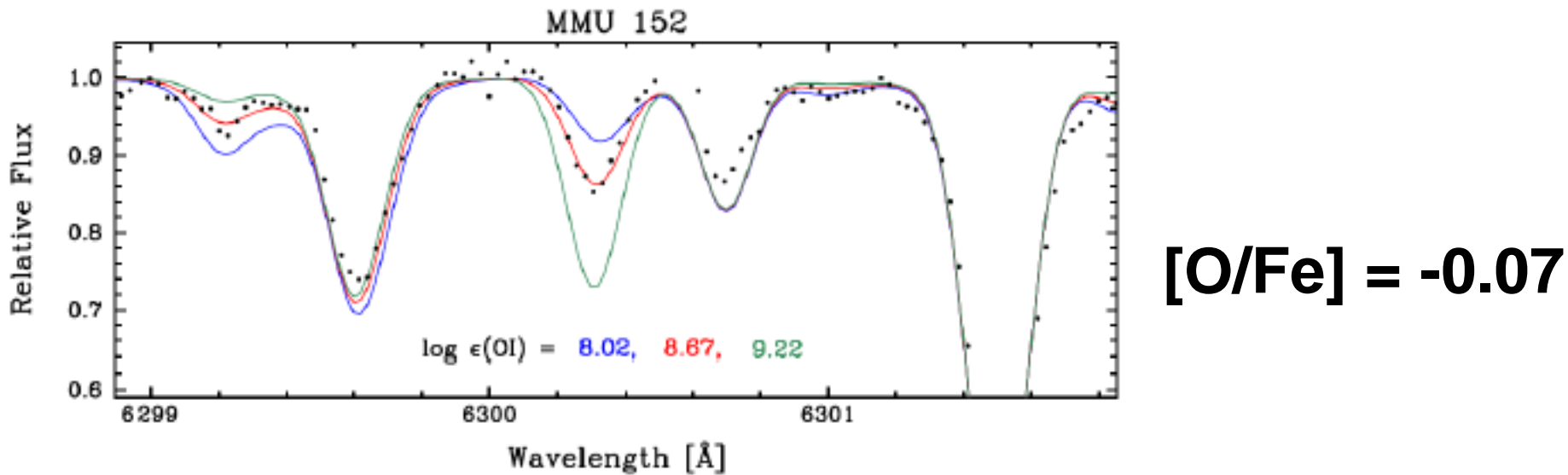
- $[Fe/H] = -0.12 \pm 0.1$ (Friel et al. 2002)
- $[Fe/H] \approx -0.1$ (Thogersen et al. 1993)
- $[Fe/H] = 0.013 \pm 0.13$ (Kharchenko+, 2013)
- $[Fe/H] = 0.06 \pm 0.02$ (Bu çalışma)

	RV	RV (Mermilliod+, 2008)
NGC 6940	8.02 ± 0.56	7.89 ± 0.14
MMU 28	8.90 ± 0.22	
MMU 30	7.96 ± 0.20	7.63 ± 0.15
MMU 60	7.66 ± 0.22	7.27 ± 0.18
MMU 69	8.08 ± 0.24	7.56 ± 0.15
MMU 87	7.98 ± 0.27	7.45 ± 0.16
MMU 101	7.74 ± 0.23	6.81 ± 0.14
MMU 105	7.74 ± 0.23	7.58 ± 0.13
MMU 108	7.39 ± 0.25	6.76 ± 0.13
MMU 132	7.76 ± 0.42	7.17 ± 0.14
MMU 138	8.22 ± 0.23	7.55 ± 0.15
MMU 139	7.53 ± 0.23	7.12 ± 0.16
MMU 152	9.28 ± 0.24	8.50 ± 0.15

	Teff	logg	[M/H]	Vt
MMU 101	5047	3.04	-0.05	1.05
MMU 152	4950	2.74	-0.07	1.29

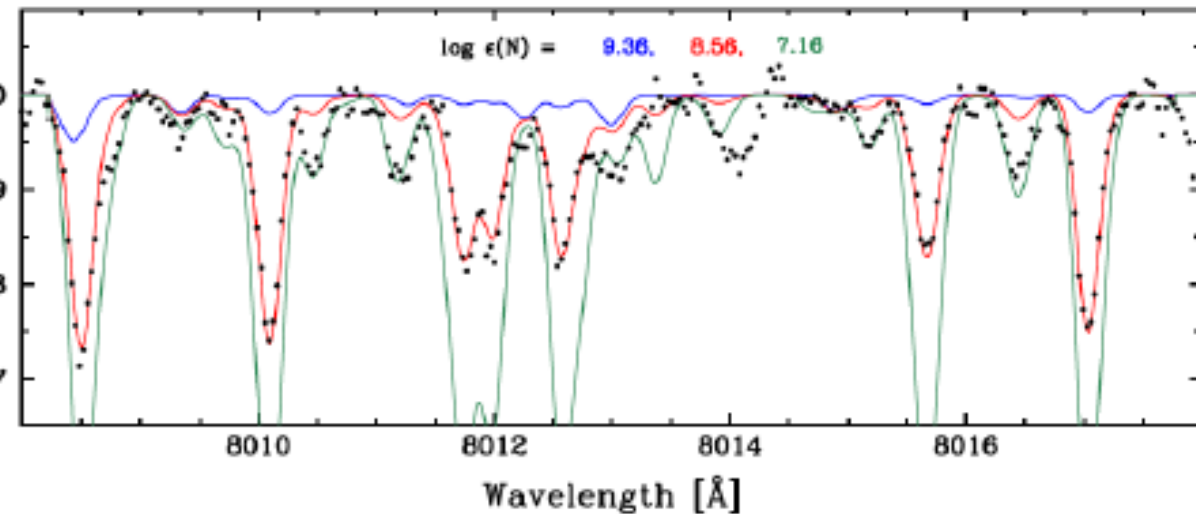
Yıldız	[Fe I/H]	[Fe II/H]	[Ti I/Fe]	[Ti II/Fe]
MMU 101	0.11 ± 0.07	0.04 ± 0.05	-0.05 ± 0.06	-0.04 ± 0.10
MMU 152	0.08 ± 0.07	0.01 ± 0.06	-0.07 ± 0.08	-0.03 ± 0.04

Yıldız	[Si I/Fe]	[Ca I/Fe]	[Cr I/Fe]	[Cr II/Fe]	[Ni I/Fe]
MMU 101	0.09 ± 0.07	0.10 ± 0.05	-0.04 ± 0.08	0.05 ± 0.06	0.03 ± 0.07
MMU 152	0.16 ± 0.09	0.10 ± 0.08	0.06 ± 0.07	0.06 ± 0.02	0.03 ± 0.09



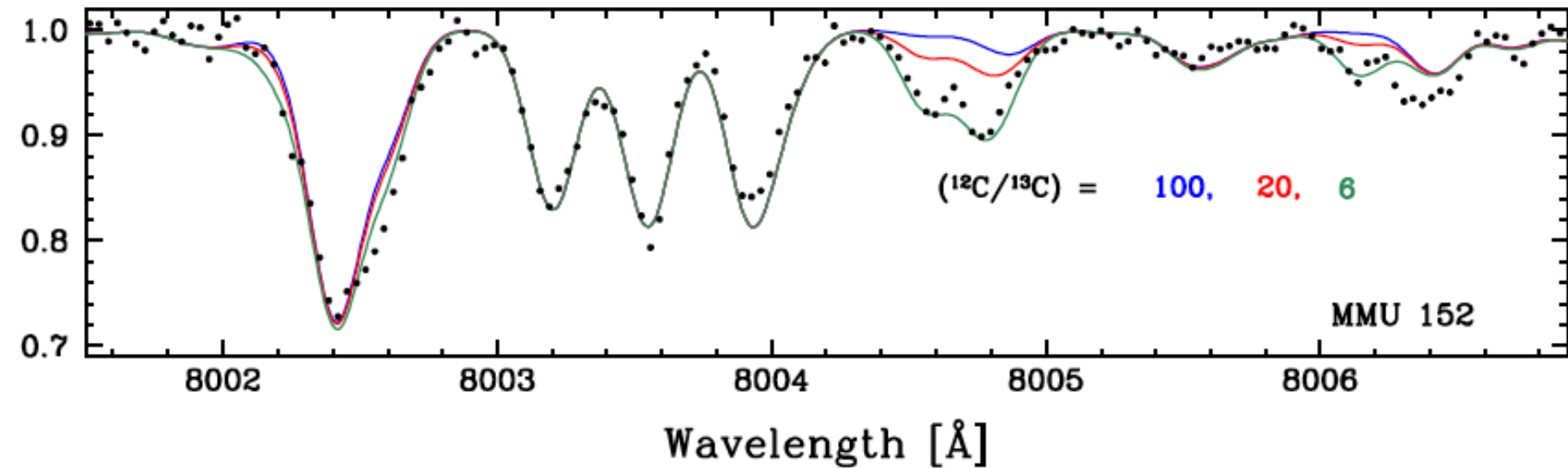
MMU 152

Relative Flux



$[N/Fe] = 0.38$

Relative Flux



❖ Bu derece yüksek metal bolluguna sahip açık
küme üyeleri arasında şu ana
kadar belirlenen en düşük $^{12}C/^{13}C$ degeri.

$^{12}C/^{13}C \sim 5-6$

Bu çalışma 112T929 nolu TÜBİTAK projesi tarafından desteklenmiştir.

Teşekkür Ederim....